

岐阜大学工学部 正員 宇野尚雄

岐阜県道路建設課 正員 竹山博

愛知県臨海開発課 正員 寺沢英和

河川堤防内の非定常浸透流の研究が多い。内田⁽¹⁾(1952)は固式解法などによりともに直立堤体に外木位が急上昇するときを、矢野・山本⁽²⁾(1957)は外木位の上昇期と下降期に関する問題点を検討している。

Vladimirescu⁽³⁾(1961)らは透水性基礎上の盛土に対しては第1近似法、不透水性基礎上の盛土に対しては第2近似法が当たるとして述べている。第1近似法と第2近似法は次のようともとである。すなわち、非定常浸透流を準一次元的に解析する基礎方程式は次式⁽⁴⁾である。

$$\frac{\partial h}{\partial t} = \frac{k}{\beta} \left[(H_0 + h) \frac{\partial^2 h}{\partial x^2} + \left(\frac{\partial h}{\partial x} \right)^2 \right] \quad (1)$$

第1近似法は $H_0 + h = \bar{H}$ を平均水頭とし、第2項を無視して、 $\frac{\partial h}{\partial t} = \alpha \frac{\partial^2 h}{\partial x^2}$, $\alpha = \frac{k}{\beta} \bar{H}$ 。⁽²⁾

第2近似法は $(H_0 + h)^2 = u$ とおいて、式(1)を変換して $\frac{\partial u}{\partial t} = \alpha \frac{\partial^2 u}{\partial x^2}$, $\alpha = \frac{k}{\beta} \bar{H}$.⁽³⁾

このように表わすと、 $x=0$ における境界の水頭変化 H^* による半無限一次元浸透はつきの水頭変化は式(2)に対して $h/H^* = \text{Erfc}(\frac{x}{2\sqrt{\alpha t}})$ (4), 式(3)に対して $u/H^* = \sqrt{\text{Erfc}(\frac{x}{2\sqrt{\alpha t}})}$ (5)

で表わされる。筆者の一人⁽⁴⁾(1966)は直立堤体に外木位が急変化する場合に、透水性基礎上の浸透では、第1近似法がより精度を有し、重ね合せの原理適用の可能性をも報告した。本文は梯形堤体に対して、外木位が一定速度で上昇の後ある水位で一定に保たれるとその不透水性基礎上の堤内浸透、および透水性基礎上の堤内浸透について、若干の検討をしたものである。

図-1

Brahma⁽¹⁹⁶²⁾らは不透水面の無限楔土中の非定常浸透の基本式を

$$\frac{\partial h}{\partial t} = \frac{k\bar{h}}{\beta} \left\{ \frac{\partial^2 h}{\partial x^2} + \frac{\partial^2 h}{\partial y^2} \right\} \quad (6)$$

で表わして、これを極座標に変換して $\frac{\partial h}{\partial t} = \frac{k\bar{h}}{\beta} \left(\frac{\partial^2 h}{\partial r^2} + \frac{1}{r} \frac{\partial h}{\partial r} + \frac{1}{r^2} \frac{\partial^2 h}{\partial \theta^2} \right)$ (7)

として、外木位が一定速度上昇のとき、およびStep変化のときの解を求め、結果を計算图表として提示している。この方法による計算自由水面は不透水面近傍で観測値とはかなりずれる。図2はその一例である。計算における実験値と合致するように流通係数 k/β を決めた。外木位上昇速度 u_0 が大きいほど k/β の大きさ $< 0.016 \sim 0.055 \text{ cm/sec}$ の間にあり、水頭変化に伴う k/β の変化が予想され興味深い。⁽⁵⁾しかし、水平管透水試験によると $k/\beta = 0.03 \sim 0.05 \text{ cm/sec}$ となるから、ほぼ妥当な値といえよう。さて不透水面近傍のすれば大きいので、不透水面上の浸透距離 x と時間 t との関係を純粹一次元非定常浸透に現われるパラメータを参考に実験値の整理を行つたところ(図-3参照)、

$$x_f/u_0 t = \cot \alpha + A \exp \left\{ -\frac{2.30 a u_0}{(k/\beta)} \right\} \quad (8)$$

を3関係を認めないので、式(8)によって x_f を計算して、この点とさきに求めた計算水面上の $0 \leq (0.6-a)t$ の部分となめらかに繋んで修正自由水面とした。

透水性基礎上の堤体内非定常浸透は、外木位が $f(t) = u_0 t$ で上昇するとき式(8)に対応して、直立堤体のとき

$$\frac{h}{u_0 t} = (1+2\lambda^2) \text{Erfc}(\lambda) - \frac{2}{\sqrt{\pi}} \lambda e^{-\lambda^2}, \quad \lambda = \frac{x}{2\sqrt{\alpha t}} \quad (9)$$

が導かれ、有限長 l の境界 $x = h(l, t) = 0$ とし解は次式⁽⁶⁾ としよ。

$$\frac{f(x,t)}{U_0 t} = \sum_{n=0}^{\infty} \left[(1+2\zeta) Ei(\zeta) - (1+2\gamma^2) Ei(\gamma) - \frac{2}{\sqrt{\pi}} (\zeta e^{-\zeta^2} - \gamma e^{-\gamma^2}) \right], \quad \zeta = \frac{2n+3/2}{2\sqrt{T}}, \quad \gamma = \frac{2(n+1)-3/2}{2\sqrt{T}}, \quad T = \frac{xt}{U_0^2} \quad (10)$$

一方、実験(図-4)は ± 3 と(実験は透水層厚15cm:対 L_0 を提高20cm²あるが), 梯形堤体の裏法先の浸出面の高さは、長時間経過後の定常時 $t=12(17)$ $H_1 \cdot \frac{H_1 \cot \alpha / 2}{L_0 + H_1 \cot \alpha}$ \approx 近似 ± 3 と考えられ、堤体中央部から裏側の水頭変化は(距離 $x=L_0/2$ で水頭を求め ± 3 と), 計算上では式(10)の x を $x = \frac{U_0 t \cot \alpha}{2}$ に ± 3 と要する水頭が近似計算 ± 3 と推論 ± 3 。

本文に述べた実験半幅20cm長2150cmの木槽内につき、砂質堤体($D_{10}=0.12mm$, $T_c=3.1$, $\delta_d=1.45\%cm^3$, 初期含水比19.3%)と対象としている。

- [文献] 1) 内田: 土木学会誌, Vol.37, No.3, pp.58-62(1952). 2) 吉野・山本: 防災研究所年報, No.1, pp.12-15(1957). 3) Vladimirescu & Lates: IAHR 9th Convention, II-36(1961). 4) 赤井・宇野: 土木学会論文集, No.127, pp.14-22(1966). 5) Brahma & Harr: Geotech., Vol.12, No.3, pp.14-22(1962). 6) 宇野・奥村・林: 第3回国土貿工学研究発表会発表論文集, I-46, pp.245-250(1968)

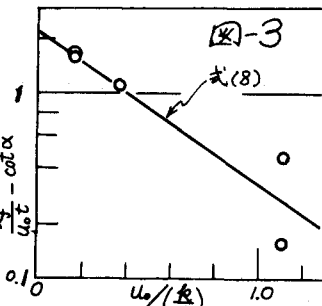


図-4

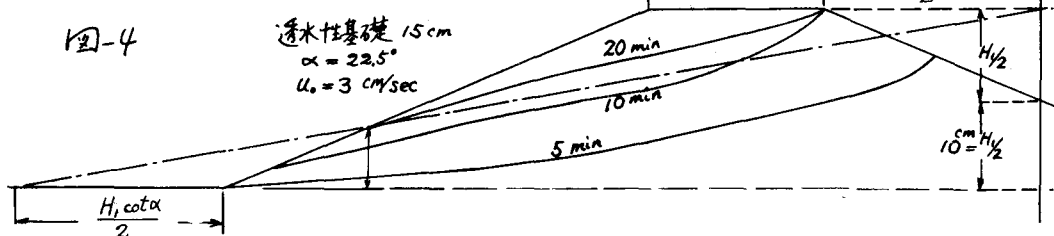


図-2(a) $U_0 = 0.5 \text{ cm/sec}$

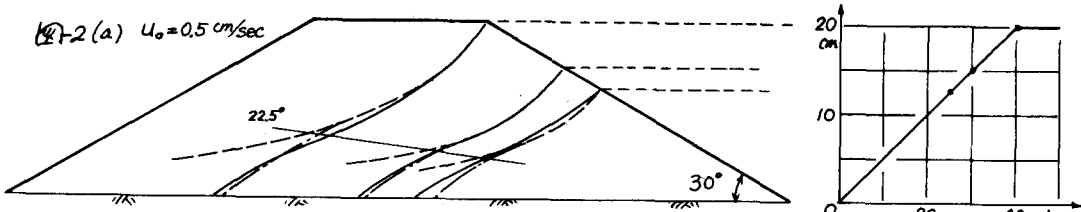


図-2(b) $U_0 = 1 \text{ cm/sec}$

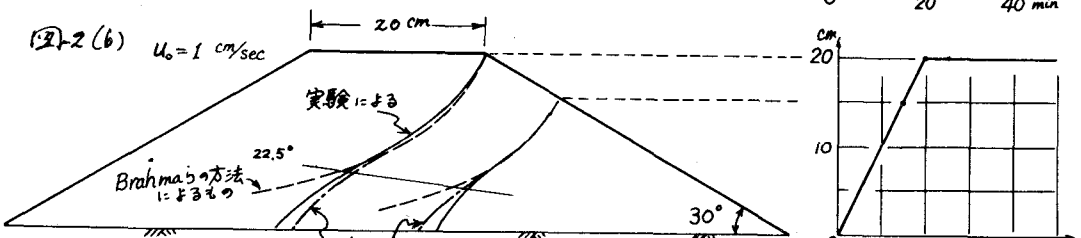


図-2(c)

